

Письма в ЖЭТФ, том 16, вып.8, стр. 495 – 499 20 октября 1972 г.

**РАСПРЕДЕЛЕНИЕ ПО ПОПЕРЕЧНОМУ ИМПУЛЬСУ
В МУЛЬТИПЕРИФЕРИЧЕСКОЙ МОДЕЛИ**

E. M. Левин, M. Г. Рыскин

В предыдущей работе [1, 2] была предложена мультипериферическая модель, обеспечивающая постоянное сечение взаимодействия частиц при высоких энергиях. Здесь мы найдем распределение по поперечным импульсам π -мезонов, рождающихся в этой модели при столкновении двух частиц и покажем, что оно не плохо согласуется с экспериментом [3 – 6]. Напомним основные черты модели.

Чтобы получить не падающее полное сечение при разумных значениях констант связи, необходимо учитывать зависимость амплитуд от парных энергий [2] и возможность испускания разных сортов частиц. Поэтому, помимо обмена π -мезоном, мы учитываем обмен ρ - и ω -траекториями и разрешаем рождение π -, ρ -, ω -, f -, A_2 -мезонов.

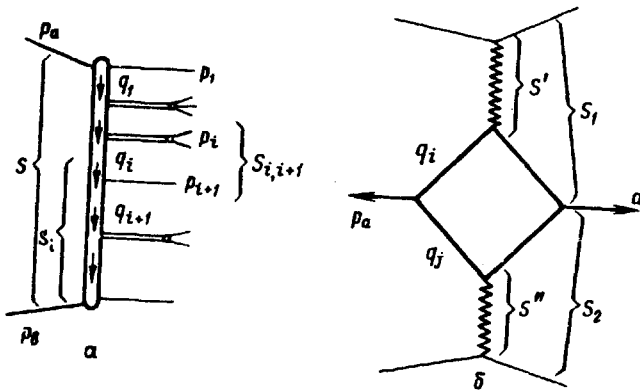


Рис. 1

Тогда матричный элемент, изображенный на рис. 1, а имеет вид

$$M = \prod_i \gamma_{i,i+1}^a (q_i^2, q_{i+1}^2) \beta_{i+1}(q_{i+1}^2) x_i^{a_i + 1 - 2q_{i+1}^2} e^{R^2 q_{i+1}^2}. \quad (1)$$

Здесь $\gamma_{i,i+1}^a (q_i^2, q_{i+1}^2)$ – вершина испускания частицы "a", $\beta(q^2)$ – пропагатор пиона или сигнатура ρ , ω – траектории, $x_i = S_{i+1}/S_i$, x_i^a – возникает из пропагатора реджиона $S_{i,i+1}^a$; вершины γ – оценивались из дуальных моделей [7]. Радиус R мы подбирали с таким расчетом, чтобы получить постоянное сечение. Требуемая величина R оказывалась близкой к оценкам сделанным на основе дуальных амплитуд [7]. Для нахождения распределения по перпендикулярным импульсам излучаемых частиц рассмотрим график 1, б. Инклюзивное сечение рождения частиц в районе пиолизации (из середины лестницы) зависит только от p_\perp и определяется формулой

$$\begin{aligned} f^a(p_\perp) &= \frac{E_a d\sigma}{d^3 p_a} = \sum_{i,i} \iint d\mathbf{q}_i^2 d\mathbf{q}_j^2 \int_0^1 dx dy |\gamma_{i,i}^a|^2 \sigma_i(q_i^2) \sigma_j(q_j^2) \times \\ &\times \frac{x^{1-2\alpha_i} y^{1-2\alpha_j} \kappa^{2-2\alpha_i}}{(1-x)(1-y) 2^8 \pi^7} \times \\ &\times |\beta_i(q_i^2) \beta_j(q_j^2)|^2 T(-q_i^2 - x\kappa, -q_{i+1}^2 - y\kappa, |p_\perp^2|), \end{aligned} \quad (2)$$

где

$$\kappa = \frac{m_a^2 + |p_\perp^2|}{(1-x)(1-y)}; \quad x = S''/S_1; \quad y = S'''/S_2;$$

$$T(a, b, c) = \theta(\lambda)\lambda^{-1/2}; \quad \lambda = 4ab - (a+b-c)^2$$

$\sigma_i(q_i^2)$ — полное сечение рассеяния частицы сорта i на мишени. Это в точности та собственная функция, которая была получена при построении модели [1].

Выражение (2) отличается от работ [8, 9] множителем $x^{-2\alpha_i} y^{-2\alpha_i}$, соответствующим пропагаторам реджонов и суммированием по сортам, обменивающихся в t -канале, частиц i, j . Появление сомножителя $\kappa^{-2\alpha_i}$ связано с определением вершины y , данном в [1].

Численно проинтегрировав формулу (2) мы получим $f^\pi(p_\perp)$ для каждого сорта излучаемых частиц $-\pi, \rho, \omega, f, A_2$. Так как радиус $R \sim 1/\Gamma_{\pi\pi}^{-1}$ — невелик, а малость массы пиона в модели [1] несущественна, то средние поперечные импульсы резонансов (ρ, ω, f, A_2) оказываются довольно большими $\langle p_\perp^2 \rangle_\rho \gtrsim 0,4 \Gamma_{\pi\pi}^2$ (см. рис. 2). В то время, как измеряемые на опыте перпендикулярные импульсы π -мезонов порядка $(2+3)m_\pi$.

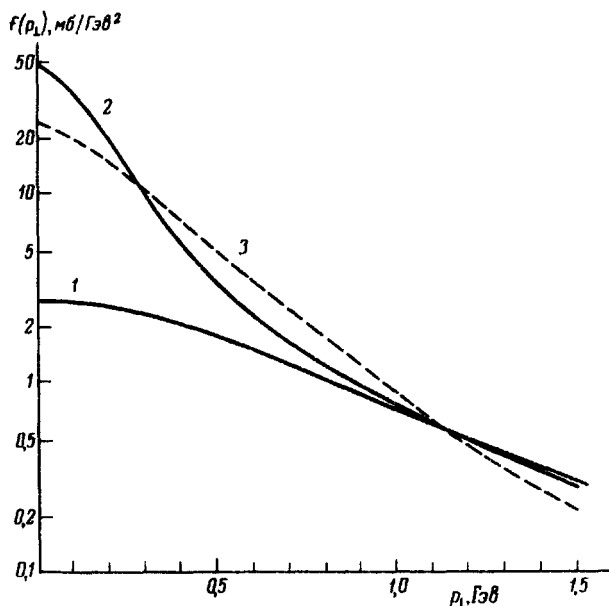


Рис. 2. Инклузивное сечение ρ -мезонов — кривая 1, и пионов, образующихся при их распаде — кривая 2, в модели [2]. Пунктиром — кривая 3, показано распределение пионов, в случае изотропного распада ρ

Небольшую величину поперечного импульса пионов легко понять, предположив, что значительная часть π -мезонов рождается за счет распада резонансов [9, 10]. Действительно, если каждый пион уносит половину импульса ρ (как было бы в случае $m_\pi = m_\rho/2$), то $\langle p_\perp^2 \rangle_\pi = \frac{1}{4} \langle p_\perp^2 \rangle_\rho$. Точнее инклузивное сечение π -мезонов, образующихся при распаде ρ , имеет вид

$$f_\rho^\pi(k_\perp) = \frac{2}{\pi} \int dp_\perp^2 \frac{3}{2} \cos^2 \theta d\cos \theta f^\rho(p_\perp) T(|p_\perp^2|, X^2, q^2 \sin^2 \theta, |k_\perp^2|). \quad (3)$$

$$\text{Здесь } X - \text{доля импульса } \rho, \text{ уносимая пионом } X = \frac{m_\pi(1 + v \cos \theta)}{m_\rho \sqrt{1 - v^2}};$$

v — скорость, а \mathbf{q} — импульс пиона в системе покоя ρ . θ — угол между \mathbf{q} и направлением сталкивающихся частиц. Двойка перед интегралом соответствует распаду ρ на два π -мезона. На рис. 2 приведены $f^\rho(p_1)$ и $f_\rho^\pi(k_{\perp})$ для простой модели [2], в которой испускаются и обмениваются только ρ -мезоны. (Применялась следующая параметризация: $y = 16\pi 6,2 \text{ Гэв}^2$, $\beta(q^2) = 1/(q^2 - m_\rho^2)$; $a(q^2) = 1/2$; $R = 0$. При этом мы получили $\sigma = \text{const}(S) = 55 \text{ мбн}$, $N_\pi = 1 \ln S$). Распределение пионов значительно острее, чем распределение ρ . Пик при малых k_{\perp} создается π -мезонами, летящими при распаде назад ($\cos \theta \approx -1$).

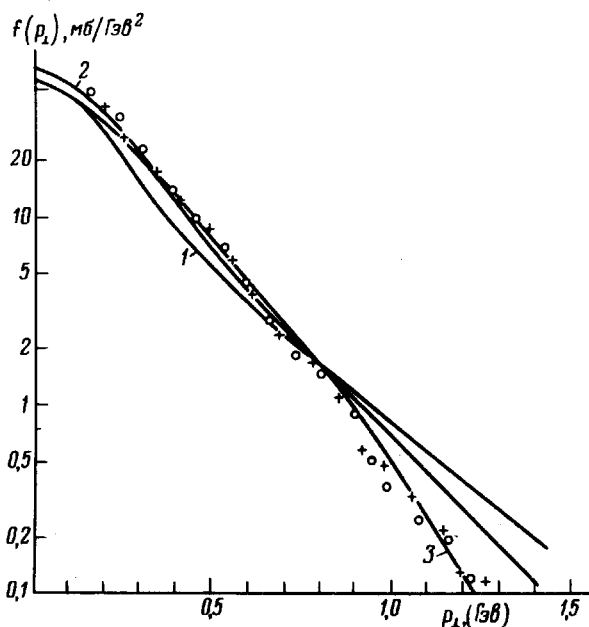


Рис. 3. Инклюзивное сечение пионов для вариантов: 1, a — кривая 1, — кривая 2, — кривая 3 работы [1]. Кружками и крестиками нанесены экспериментальные данные [3] по рождению π^- и π^+ -мезонов на 89° при $E_{\text{ЦМ}} = 30,4 \text{ Гэв}$.

Эти пионы имеют малые $X \sim 0,1$, и их поперечный импульс определяется, в основном, энергией распада ρ -мезона $k_{\perp} = q_{\perp} + X p_{\perp} \sim q_{\perp}$. Поэтому при $k_{\perp} < 0,1 \text{ Гэв}$ наклон кривой меньше, чем в средней части. При больших k_{\perp} наклон вновь уменьшается и кривая повторяет распределение ρ -мезонов. Эта область соответствует пионам, летящим вперед ($\cos \theta \approx 1$) и уносящим почти весь импульс ρ ($k_{\perp \pi} \sim p_{\perp \rho}$). Аналогичным образом распределения ω , f , A_2 пересчитываются в распределение π . Окончательные результаты представлены на рис. 3. Для сравнения там же приведены экспериментальные данные по инклюзивным сечениям π^\pm -мезонов, рождающихся в pp соударениях на 89° [3], в системе центра инерции. Т. е. как раз тех пионов, которые излучаются из центра лестницы, когда применима формула (2). По своему поведению кривые повторяют рис. 2. В области $p_{\perp} \sim 0,1 - 0,9 \text{ Гэв}$ все варианты неплохо согласуются друг с другом и с экспериментом, и хорошо описываются формулой $e^{-b p_{\perp}}$, где $b \approx 5,5 \text{ Гэв}^{-1}$. При $p_{\perp} < 0,1 \text{ Гэв}$ всюду наблюда-

ется уменьшение наклона кривой. Такого sorta поведение (однако при $p_T < 0,2 \text{ Гэв}$) было обнаружено в ЦЕРН'е [6] при меньших энергиях. При больших p_T варианты отличаются друг от друга и зависят от деталей параметризации. Изменение параметризации в этой области почти не сказывается на величине и поведении полных сечений. Поэтому новые данные при больших p_T можно использовать для уточнения модели без изменения предыдущих результатов [1]. В заключение отметим, что мультипериферическая модель, не только качественно, но и количественно хорошо описывает инклузивное сечение π -мезонов.

Ленинградский
институт ядерной физики
им. Б.П.Константинова
Академии наук СССР

Поступила в редакцию
12 сентября 1972 г.

Литература

- [1] Е.М.Левин, М.Г.Рыскин. ЯФ, 17, вып. 2, 1973; Phys. Lett.,
(в печати)
- [2] Е.М. Левин, М.Г.Рыскин. Письма в ЖЭТФ, 15, 681, 1972.
- [3] British – Scandinavian ISR Collaboration, paper presented at the 4-th Conference on High Energy Collisions, Oxford, 1972.
- [4] M.Bertin et al Phys. Lett., 38B, 260, 1972.
- [5] M.Breidenbach et.al.Phys.Lett., 39B, 654, 1972.
- [6] H.Boggild et. al. Nucl. Phys., B27, 1, 1971.
- [7] A.Neveu, J.H.Schwarz. Nucl. Phys., B31, 861, 1971; В.А.Кудрявцев,
Письма в ЖЭТФ, 15, 487, 1972.
- [8] D.Amati, A.Stanghellini, S.Fubini. Nuovo Cim., 26, 896, 1962.
- [9] Brayn Webber. Phys. Rev. Lett., 27, 448, 1971.
- [10] E.Yen, E.L.Berger. Phys. Rev. Lett., 24, 695, 1970.